

PROBLEMAS UNIDIMENSIONALES

(hay a Moodle un programa para jugar con potenciales unidimensionales)

- Son problemas que cumplen $\begin{cases} V = V(x) \\ \psi = \psi(x, t) \rightarrow \text{la partícula puede moverse en 3 dimensiones, pero sólo depende de una} \\ \text{(ej. onda plana } e^{ikx}) \end{cases}$

• henos en orden creciente de complejidad.

PARTÍCULA LIBRE

- Tomemos sin pérdida de generalidad $V=0$.
- Resolvámoslo mediante estados estacionarios:

$$H\psi = E\psi \Leftrightarrow -\frac{\hbar^2}{2m} \frac{d^2\psi}{dx^2} = E\psi$$

Definimos $k \equiv \frac{\sqrt{2mE}}{\hbar} \geq 0$ ($E \geq 0 \Rightarrow$ ya sea que para que ψ sea normalizable, $E \leq V$)

Y llegamos a: $\frac{d^2\psi}{dx^2} + k^2\psi = 0$ (aquí se ve lo que $E < 0$ significa; no vale la pena no normalizable)
 \hookrightarrow digo yo que los diferenciales son e^{ikx} , que se pone aL^2 , e^{-ikx} que se pone aL^2 .

$$\psi = A \sin kx + B \cos kx$$

Añ: para cada valor de $E \Leftrightarrow$ para cada valor de k ; tengo doble degeneración.

Los estados estacionarios son $\{\sin kx, \cos kx\}_{k \geq 0}$; de autovalores $E_k = \frac{\hbar^2 k^2}{2m}$

Otra posible base es $\{e^{ikx}, e^{-ikx}\}_{k \geq 0}$ de mis autovalores.

Esto último permite escribir más cómodamente los estados estacionarios:

Normalización

$$\psi_k = \frac{1}{\sqrt{2\pi}} e^{ikx} ; k \in (-\infty, \infty)$$

$$E_k = \frac{\hbar^2 k^2}{2m}$$

Aquí está el origen de la degeneración:
hay dos k diferentes que dan la
misma energía.

Ahí, el problema está resuelto:

→ coeficiente de la C.L. en expansión en estos los. Al ser continuo, e no fijar E , no C.L. de estados estacionarios

$$\psi(x, t) = \frac{1}{\sqrt{2\pi}} \int_{-\infty}^{\infty} g(k) e^{ikx - i \frac{E_k}{\hbar} t} dk$$

En particular:

$$\psi(x, 0) = \frac{1}{\sqrt{2\pi}} \int_{-\infty}^{\infty} g(k) e^{ikx} dk$$

Al ser la base ortogonal e el sentido opuesto:

→ $E_k = 0$ la base es igual para el dependiente de k

$$g(k) = (\psi_k, \psi(x, 0)) = \frac{1}{\sqrt{2\pi}} \int_{-\infty}^{\infty} e^{-ikx} \psi(x, 0) dx ; \text{ como ya sabemos}$$

Entonces:

$$\psi(x, t) = \frac{1}{\sqrt{2\pi}} \int_{-\infty}^{\infty} g(k) e^{i(kx - \frac{E(k)}{\hbar} t)} dk ; \text{ con}$$

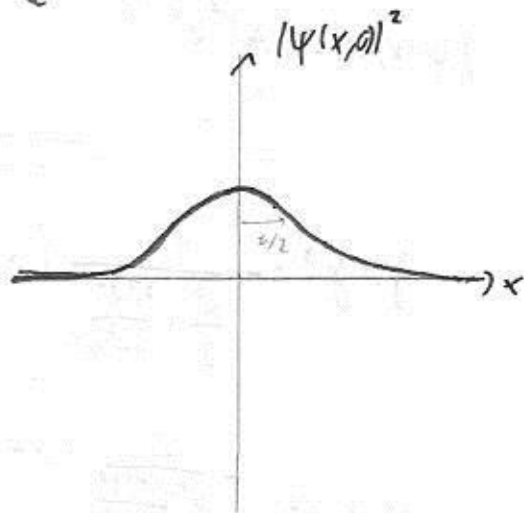
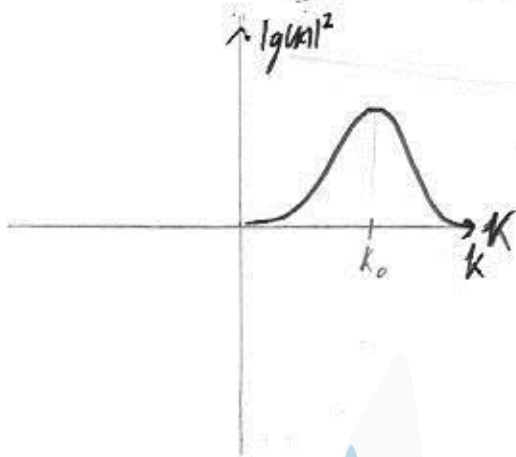
$$g(k) = \frac{1}{\sqrt{2\pi}} \int_{-\infty}^{\infty} e^{-ikx} \psi(x, 0) dx$$

$$E(k) = \frac{\hbar^2 k^2}{2m}$$

• Veamos cómo evoluciona el paquete Gaussiano: (los centros de los paquetes)

$$g(k) = \frac{\sqrt{a}}{(2\pi)^{1/4}} e^{-\frac{a^2}{4}(k-k_0)^2}$$

$$\psi(x,0) = \left(\frac{2}{\pi a^2}\right)^{1/4} e^{ik_0 x} e^{-\frac{x^2}{a^2}}$$



Integrando los exponentes de la eqn.:

$$\psi(x,t) = \frac{1}{\sqrt{2\pi}} \frac{\sqrt{a}}{(2\pi)^{1/4}} \int_{-\infty}^{\infty} e^{-\frac{a^2}{4}(k-k_0)^2 + ikx - i\frac{\hbar k^2 t}{2m}} dk$$

$$\text{Vamos: } \int_{-\infty}^{\infty} e^{-\alpha^2(z+\beta)^2} dz = \frac{\sqrt{\pi}}{\alpha} \quad \forall \beta \in \mathbb{C}; \forall \alpha \in \mathbb{C}$$

Por eso el cuadrado perfecto:

$$-\frac{a^2}{4}(k-k_0)^2 + ikx - \frac{i\hbar k^2 t}{2m} = -\alpha^2(k+\beta)^2 + \gamma$$

Identificando términos: (proceder a la respuesta literal)

$$\alpha^2 = \frac{a^2}{4} + \frac{i\hbar t}{2m}$$

$$\gamma = \frac{1}{a^2 + i\frac{2\hbar t}{m}} \left[-x^2 - i\frac{a^2 k_0^2 \hbar t}{2m} + i x a^2 k_0 \right]$$

$$\psi(x,t) = C e^{\gamma \frac{\sqrt{\pi}}{\alpha}} = C e^{\gamma \frac{\sqrt{\pi}}{\sqrt{\frac{a^2}{4} + i \frac{\hbar t}{2m}}}}$$

No interesamos por $|\psi(x,t)|^2$, que con un poco de suerte se simplifica:

$$|\psi(x,t)| = |A|^2 e^{\gamma + \gamma^*}$$

↓
No depende de x , solo de t . $\propto \frac{1}{\sqrt{\frac{a^2}{4} + \frac{(\hbar t)^2}{2m^2}}}$ } Es un factor de normalización (que depende de t)

$$\gamma + \gamma^* = - \frac{1}{\frac{a^2}{2} + \frac{\hbar^2 t^2}{2m^2 a^2}} \left(x - \frac{\hbar t k_0}{m} \right)^2$$

$$\text{Así, } |\psi(x,t)|^2 = |A|^2 e^{-\frac{2}{a^2 + \frac{\hbar^2 t^2}{m^2 a^2}} \left(x - \frac{\hbar t k_0}{m} \right)^2}$$

Es decir, tengo una gaussiana: (los dos detalles de ahora se quedan)

El centro del paquete de ondas se mueve a velocidad $\frac{\hbar k_0}{m}$: la velocidad de grupo $\frac{d\omega}{dk}$. En este caso, no coincide con la velocidad de fase $\frac{\hbar k_0}{2m}$.

$$x_0(t) = \frac{\hbar k_0}{m} t$$

El término que divide al exponente nos da idea de la ^{su} anchura de la gaussiana:

$$\Delta x = \frac{1}{2} \left(a^2 + \frac{\hbar^2 t^2}{m^2 a^2} \right)^{1/2}$$

Así, el paquete de ondas se ensancha con el tiempo.

Este fenómeno es totalmente general: es debido a la dispersión: la solución es una superposición (con peso $g(k)$) de ondas planas. Estas ondas interfieren constructivamente a cierta región y destructivamente a otra.

Ahora, la velocidad de cada onda es diferente $\left(\frac{\hbar k}{2m} \right)$

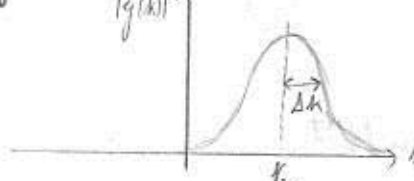
Las ondas planas viajan a la velocidad de fase

Como una consecuencia que otras, la suposición constructiva ya no se mantiene, y aparece un ensombrecimiento.

PROBLEMA DE LA FASE ESTACIONARIA

Intentamos estimar el máximo de la distribución de probabilidad asociada a la función de onda $\psi(x) = \int_{-\infty}^{\infty} g(k) e^{ikx} dx$

- $g(k) = |g(k)| e^{i\theta(k)}$



- Desarrollamos en serie la fase: $g(k) \approx |g(k)| e^{i(\theta(k_0) - x_0(k-k_0) + \dots)}$, con $x_0 = -\theta'(k_0)$ (dicción de la fase)

este desarrollo en serie se ve justificado porque la integral será sobre todo cerca de k_0 .

$$\psi(x) \approx \int_{-\infty}^{\infty} |g(k)| e^{i\theta(k_0)} e^{-ix_0(k-k_0)} e^{ikx} dk = \int_{-\infty}^{\infty} |g(k)| e^{i\theta(k_0)} e^{i(k-k_0)(x-x_0)} dk$$

Como el término que se integra es el producto de un término que depende de k y un término que depende de x .

$$|\psi(x)|^2 \approx \left| \int_{-\infty}^{\infty} |g(k)| e^{i(k-k_0)(x-x_0)} dk \right|^2$$

Algo a tener en cuenta es que, al estar en k_0 , la cunta en Δk

Si $|x-x_0| \gg \frac{1}{\Delta k}$, va a oscilar muy rápido. El término $e^{i(k-k_0)(x-x_0)}$

Como $|g(k)|$ es positivo de una onda, la integral es ~ 0

Si $|x-x_0| \ll \frac{1}{\Delta k}$, va a oscilar lentamente e la no depende de $|g(k)|$ es aproximadamente constante. Así,

parte imaginaria ~ 0

parte real $\sim \int_{-\infty}^{\infty} |g(k)| dk$

Así, esta función será máxima para $x \sim x_0$

• Como $\psi(x) = \int_{-\infty}^{\infty} |g(k)| e^{i\theta(k)} e^{ikx} dk$, el máximo de $|\psi(x)|^2$ se alcanza cuando la

fase es estacionaria. (Derivados de k a k_0 y después x)

• Aplicándolos al caso general: $\psi(x,0) = \int_{-\infty}^{\infty} |g(k)| e^{i\theta(k)} e^{ikx} dk$

$$\psi(x,t) = \int_{-\infty}^{\infty} |g(k)| e^{i\theta(k)} e^{ikx} e^{-i\frac{\hbar k^2}{2m}t} dk$$

La fase es ahora: $\phi(k) = \theta(k) + kx - w(k)t$

$$0 = \theta'(k_0) + k_0 x - w'(k_0)t$$

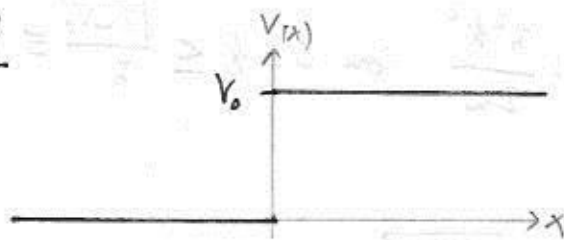
$$x = -\frac{\theta'(k_0) + w'(k_0)t}{k_0} \quad \rightarrow \text{Notas que luego } v_g$$

Como $w'(k) = \frac{\hbar k}{m}$:

$$x = x_0 + \frac{\hbar k_0}{m} t \quad (\text{con } x_0 \text{ que esto es una expresión})$$

Zimatek

POTENCIAL ESCALÓN



$$V(x) = V_0 \theta(x) :$$

Hallar estados estacionarios: (serán no ligados: la partícula clásica tiene libertad, al menos, en $x < 0$)

$$\underline{V_0 \geq E} :$$

$$\begin{cases} -\frac{\hbar^2}{2m} \frac{d^2\psi}{dx^2} + V_0\psi = E\psi & \text{si } x > 0 \\ -\frac{\hbar^2}{2m} \frac{d^2\psi}{dx^2} = E\psi & \text{si } x < 0 \end{cases}$$

$$\text{Definir } k \equiv \frac{\sqrt{2mE}}{\hbar} \geq 0 \quad (E \geq 0 \text{ por normalizabilidad})$$

$$\chi \equiv \frac{\sqrt{2m(V_0 - E)}}{\hbar} \geq 0 \quad (V_0 \geq E \text{ por hipótesis})$$

La cosa se simplifica:

$$\begin{cases} \psi'' + k^2\psi = 0 & \text{si } x < 0 \\ \psi'' - \chi^2\psi = 0 & \text{si } x > 0 \end{cases}$$

⇓

$$\begin{cases} \psi(x) = Ae^{ikx} + Be^{-ikx} & \text{si } x < 0 \\ \psi(x) = Ce^{-\chi x} + De^{\chi x} & \text{si } x > 0 \end{cases}$$

- por normalizabilidad, $D = 0$ (no puede haber divergencias en el ∞)

- por continuidad, $C = A + B \rightarrow$ Continuidad en ψ

$$-\chi C = ikA - ikB \rightarrow \text{Continuidad en } \psi'$$

$$\text{así: } B = \frac{k - i\chi}{k + i\chi} A$$

$$C = \frac{2k}{k + i\chi} A$$

- La región vale $E(k) = \frac{\hbar^2 k^2}{2m}$, con $0 \leq k \leq \frac{\sqrt{2mV_0}}{\hbar} \equiv K_0$
 \downarrow
 $E \leq V_0$

notas que $\chi = \chi(k) = \sqrt{K_0^2 - k^2}$

- El problema es no degenerado: como $k \geq 0$, una energía delimita un $k \Rightarrow$ una región definida, salvo iter.,

una única función de onda:

$$\chi = \chi(k)$$

$$A = B(A, k) \rightarrow A, \text{ el único coeficiente libre}$$

$$C = C(A, k)$$

- La evolución temporal es:

$$\Psi(x, t) = \begin{cases} \int_0^{K_0} g(k) e^{ikx} e^{-i \frac{E(k)}{\hbar} t} dk + \int_0^{K_0} g(k) \frac{k-i\chi}{k+i\chi} e^{-ikx} e^{-i \frac{E(k)}{\hbar} t} dk & \text{si } x < 0 \\ \int_0^{K_0} g(k) \frac{2k}{k+i\chi} e^{-\chi x} e^{-i \frac{E(k)}{\hbar} t} dk & \text{si } x > 0 \end{cases}$$

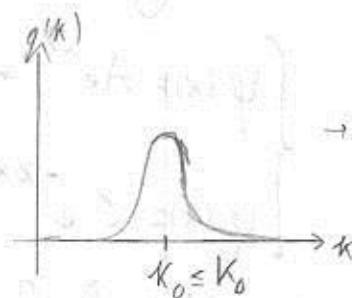
con $K_0 = \frac{\sqrt{2mV_0}}{\hbar}$

$$\chi = \sqrt{K_0^2 - k^2}$$

$$E = \frac{\hbar^2 k^2}{2m}$$

Zimatek

- Consideremos, para fijar ideas:



\rightarrow Real (no fase e^{ikx}) \sim una perturbación en el origen del tiempo

La primera integral tiene un máximo donde $\chi - \frac{1}{\hbar} \frac{dE(k)}{dt} \Big|_{t=0} \Rightarrow \chi = \frac{\hbar k_0}{m} t$

Los ángulos de fase van a ser que el término donde $g(k)$ tiene valores especiales, este dato delimita el de integración

Como es vale para $x < 0$, el máximo se dará en tiempos negativos.

Así, tengo un paquete de ondas que viaja hacia la derecha a $t < 0$ (paquete incidente)

El segundo paquete de ondas tiene una fase $\phi(k) = -kx - \frac{E(k)}{\hbar} t - 2\theta(k)$; con $2\theta(k)$ la fase de $\frac{k-i\kappa}{k+i\kappa}$. Resulta que $\theta(k) = \arctan \frac{\kappa}{k_0} \Rightarrow \theta'(k) = -\frac{1}{\sqrt{k_0^2 - k^2}}$

El núcleo de este paquete se da en $-x - \frac{\hbar k_0}{m} t - 2\theta'(k_0) = 0$

$$x = -\frac{\hbar k_0}{m} t + \frac{2}{\sqrt{k_0^2 - k^2}} = -\frac{\hbar k_0}{m} (t - \tau)$$

$$\text{con } \tau = \frac{2m}{\hbar k_0 \sqrt{k_0^2 - k^2}}$$

Como vale para $x < 0$, el núcleo se dará si $t > \tau$

Así, tengo un paquete de ondas que viaja a la izquierda en $t > \tau$ (paquete reflejado)

El tercer paquete tiene de fase

$$\phi(k) = -\frac{E(k)t}{\hbar} - \theta(k)$$

\downarrow
resultado de la fase de $\frac{\kappa}{k+i\kappa}$

así, se llega a $t = \tau/2$

Zimatek

Cualitativamente:

- En $t < 0$ y muy negativo, sólo tengo un paquete de ondas que se propaga de izquierda a derecha en $x < 0$.

- Cerca de $t=0$, el núcleo ya está cerca del escalar. Cerca de $t = \tau/2$, hay una contribución (pequeña pero apreciable) a la probabilidad en la región

$x > 0$: efecto sin análogo clásico

- A partir de un tiempo τ , tengo un paquete de ondas que vuela de derecha a izquierda en $x < 0$

La partícula llega a la pared, y con un cierto retraso de τ , rebota. En $\tau/2$, la podemos encontrar detrás de la pared

Definir el coeficiente de reflexión o reflectancia de la barrera:

$$R \equiv \left| \frac{J_r}{J_i} \right| \quad (\psi_i = e^{ikx}, \psi_r = \frac{k-i\chi}{k+i\chi} e^{-ikx})$$

y el coeficiente de transmisión o transmitancia:

$$T \equiv \left| \frac{J_t}{J_i} \right| \quad (\psi_t = \frac{2k}{k+i\chi} e^{-\chi x})$$

Si lanzo un haz de partículas con cierta intensidad ($\frac{\text{partículas}}{\text{área} \cdot \text{tiempo}}$), los coeficientes son el cociente de intensidades (J , proporcional a la intensidad)

↓
Intensidad
Área · Tiempo

Notar que le todo de ψ_i , ψ_r y ψ_t fijan que, tras multiplicar por $q(k) e^{-\frac{iE(k)t}{\hbar}} dk$, no da el paquete de ondas.

$$J = \frac{\hbar}{2mi} \left(\psi^* \frac{d\psi}{dx} - \psi \frac{d\psi^*}{dx} \right) \quad (\text{ecuación 10})$$

$$J_i = \frac{\hbar k}{m} \quad (\text{vál. si } \psi = Ae^{ikx} \rightarrow J = |A|^2 \frac{\hbar k}{m})$$

$$J_r = -\frac{\hbar k}{m}$$

$$J_t = 0 \quad (\text{lo depende de } x \text{ esto es no fijo en } x)$$

$R=1$ → el haz de vuelta es igual de intenso que el incidente
 $T=0$ → no hay haz transmitido (las partículas pueden estar dentro de la barrera un tiempo, pero al final se ven reflejadas)

$$\underline{V_0 \leq E:}$$

$$\begin{cases} -\frac{\hbar^2}{2m} \frac{d^2 \psi}{dx^2} + V_0 \psi = E \psi & \text{si } x > 0 \\ -\frac{\hbar^2}{2m} \frac{d^2 \psi}{dx^2} = E \psi & \text{si } x < 0 \end{cases}$$

Definimos: $k \equiv \frac{\sqrt{2mE}}{\hbar} \geq 0$. De hecho, $k \in [k_0, +\infty)$

$$k' \equiv \frac{\sqrt{2m(E-V_0)}}{\hbar} \geq 0 \quad (V_0 \leq E \text{ por hipotesis})$$

La cosa se simplifica:

$$\begin{cases} \psi'' + k^2 \psi = 0 & \text{si } x < 0 \\ \psi'' + k'^2 \psi = 0 & \text{si } x > 0 \end{cases}$$

$$\psi(x) = \begin{cases} A e^{ikx} + B e^{-ikx} & \text{si } x < 0 \\ C e^{ik'x} + D e^{-ik'x} & \text{si } x > 0 \end{cases}$$

Hay que pedir continuidad:

$$\begin{cases} A + B = C + D \\ ik(A - B) = ik'(C - D) \end{cases} \rightarrow \text{Hay degeneración (doble)}$$

Tomamos, arbitrariamente, $D = 0$. (Contribución o no partícula que incide de derecha a izquierda)

$$B = \frac{k - k'}{k + k'} A$$

$$C = \frac{2k}{k + k'} A$$

Y si nos:

$$E = \frac{\hbar^2 k^2}{2m} \quad k \geq k_0$$

$$k' = \sqrt{k^2 - k_0^2}$$

La evolución temporal es:

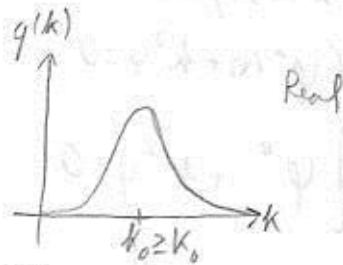
$$\psi(x,t) = \begin{cases} \int_{K_0}^{+\infty} g(k) e^{ikx} e^{-i \frac{E(k)t}{\hbar}} dk + \int_{K_0}^{+\infty} g(k) e^{-ikx} \frac{k-k'}{k+k'} e^{-i \frac{E(k)t}{\hbar}} dk & \text{si } x < 0 \\ \int_{K_0}^{+\infty} g(k) e^{ikx} \frac{2k}{k+k'} e^{-i \frac{E(k)t}{\hbar}} dk & \text{si } x > 0 \end{cases}$$

con $K_0 = \frac{\sqrt{2mV_0}}{\hbar}$

$$k' = \sqrt{k^2 - K_0^2}$$

$$E = \frac{\hbar^2 k^2}{2m}$$

Como en el otro caso, consideremos, para fijar ideas:



- El primer paquete de ondas tiene $x_{\text{máx}} = \frac{\hbar k_0}{m} t$: para tiempos menores que 0, tengo un paquete de ondas que viaja a la derecha.
- El segundo paquete de ondas tiene $x_{\text{máx}} = -\frac{\hbar k_0}{m} t$: para tiempos mayores que 0, tengo un paquete de ondas que viaja a la izquierda.
- El tercer paquete de ondas tiene $x_{\text{máx}} = \frac{\hbar \sqrt{K_0^2 - k_0^2}}{m} t$: para tiempos mayores que 0, tengo un paquete de ondas que viaja a la derecha a velocidad menor que los otros.

• Veamos a los coeficientes:

$$\psi_i = e^{ikx}$$

$$\psi_r = e^{-ikx} \frac{k-k'}{k+k'}$$

$$\psi_t = e^{ik'x} \frac{2k}{k+k'}$$

$$R = \left(\frac{k-k'}{k+k'} \right)^2$$

$$T = \left(\frac{2k}{k+k'} \right)^2 \frac{k'}{k}$$

Se comprueba fácilmente que $R+T=1$

• Cualitativamente, la partícula tiene cierta probabilidad de rebotar y cierta probabilidad de pasar el escalón.

Si lanzamos una haz de partículas, se transmite una intensidad $T I_i$ y se refleja una intensidad $R I_i$
(R, T depende de la energía del haz)

Clásicamente, esto no ocurre: TODAS atraviesan el escalón.

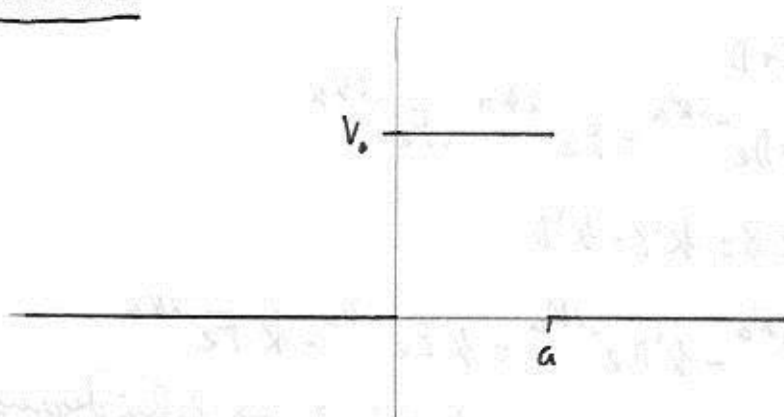
Cuando $E \gg V_0 \Rightarrow k \gg k_0 \Rightarrow k \sim k' \Rightarrow R \rightarrow 0$ y se recupera el resultado clásico
 $T \rightarrow 1$

• En el caso más general, habrá que sumar los estados estacionarios con $E \leq V_0$ y aquellos con $E \geq V_0$ (la evolución "separa" ambos tipos de estados).



Zimatek

BARRERA DE POTENCIAL



• En general:

• Habrá que dividir el espacio en tres regiones

• $E \geq 0$

• No habrá cuantización, los estados serán no ligados

• Estados estacionarios:

• $E \geq V_0$:

Definir $k \equiv \frac{\sqrt{2mE}}{\hbar} > 0$ (si $E > V_0$)

$k' \equiv \frac{\sqrt{2m(E-V_0)}}{\hbar} \geq 0$

con lo que la ecuación de Schrödinger queda:

$$\begin{cases} \psi'' + k^2 \psi = 0 & \text{si } x < 0 \\ \psi'' + k'^2 \psi = 0 & \text{si } 0 < x < a \\ \psi'' + k^2 \psi = 0 & \text{si } x > a \end{cases}$$

hay que resolver e imponer continuidad:

$$\psi(x) = \begin{cases} Ae^{ikx} + Be^{-ikx} & \text{si } x < 0 \\ Ce^{ik'x} + De^{-ik'x} & \text{si } 0 < x < a \\ Ee^{ikx} + Fe^{-ikx} & \text{si } x > a \end{cases}$$

Con:

$$\begin{cases} A+B = C+D \\ C e^{ik'a} + D e^{-ik'a} = E e^{ika} + F e^{-ika} \\ kA - kB = k'C - k'D \\ k' C e^{ik'a} - k' D e^{-ik'a} = k E e^{ika} - k F e^{-ika} \end{cases}$$

un sistema lineal de 4 ecuaciones con 6 incógnitas \Rightarrow habrá degeneración doble.

Analizamos una de las dos partes de la solución, haciendo $F=0$ para estudiar sólo la onda que va de izquierda a derecha.

Es fácil resolver con Mathematica o con esto.

Cualitativamente, para $g(k)$ real, en $t < 0$ el paquete incide, y luego parte reflejada y parte se transmite.

Los coeficientes de reflexión y transmisión son:

$$\begin{aligned} \psi_i &= A e^{ikx} \\ \psi_r &= B e^{-ikx} \\ \psi_t &= E e^{ikx} \end{aligned} \Rightarrow \begin{aligned} R &= \left| \frac{J_r}{J_i} \right| = \left| \frac{B}{A} \right|^2 \\ T &= \left| \frac{J_t}{J_i} \right| = \left| \frac{E}{A} \right|^2 \end{aligned}$$

(los coeficientes solo por división todo dividido entre A)

entonces:

$$R = \frac{(k'^2 - k^2) \sin^2 k'a}{4k^2 k'^2 + (k'^2 - k^2)^2 \sin^2 k'a}$$

$$T = \frac{4k^2 k'^2}{4k^2 k'^2 + (k'^2 - k^2)^2 \sin^2 k'a} = 1 - R \text{ (no deberíamos)}$$

recuerden que $k' = k'(k) = \sqrt{k^2 - k_0^2}$; con $k_0 = \frac{\sqrt{2} v_0}{h}$

Análisis, etc:

Clásicamente, $T=1; R=0$. Cuánticamente, no (como en el potencial escalón)

Ver que esto depende de a . Si $k'a = n\pi \Rightarrow \sin k'a = 0 \Rightarrow T=1; R=0$. Se dice

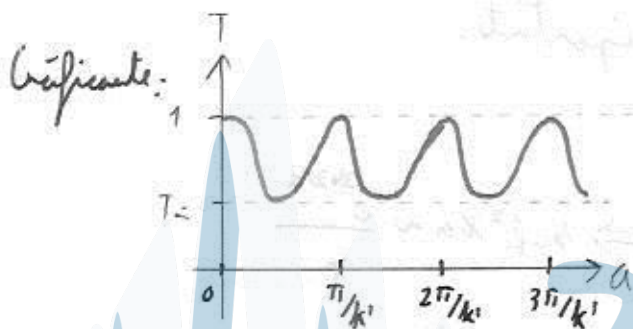
que hay resonancia \rightarrow la interferencia constructiva modela ondas las cuales dan

- Si $\sin^2 k'a = 1$, la transmisión es máxima, $T = \frac{4k^2 k'^2}{(k'^2 + k^2)^2}$

(no es 0, esto entre 0 y 1). En términos de E , $T_{res} = \frac{4E(E-V_0)}{4E(E-V_0) + V_0^2}$

Si $E \gg V_0$, $T \rightarrow 1$ y se recupera el límite clásico (que es

$$T_{res} = 1, T = 1)$$



$E \leq V_0$:

Definimos $K = \frac{\sqrt{2mE}}{\hbar} > 0$

$$\chi = \frac{\sqrt{2m(V_0 - E)}}{\hbar} = \sqrt{K_0^2 - K^2}; \text{ con } K_0 = \frac{\sqrt{2mV_0}}{\hbar}$$

Ahora la ecuación de Schrödinger dentro de la barrera queda $\psi'' - \chi^2 \psi = 0$; y:

$$\psi(x) = \begin{cases} Ae^{iKx} + Be^{-iKx} & \text{si } x < 0 \\ Ce^{\chi x} + D e^{-\chi x} & \text{si } 0 < x < a \\ E e^{iKx} + F e^{-iKx} & \text{si } x > a \end{cases}$$

al imponer continuidades, de nuevo, analizamos sólo $F=0$.

Queda asociado con $\chi = i k' \Leftrightarrow k' = -i \chi$

Substituyendo en R y T:

Los valores pueden ser más negativos pq k' aparece como el exponente (signos de los términos que tienen exponentes)

$$T = \frac{4k^2 \chi^2}{4k^2 \chi^2 + (\chi^2 + k^2)^2 \hbar^2 \chi a}$$

(R=1-T)

Se puede hallar un coeficiente de transmisión: aunque la partícula tiene una energía inferior a la altura de la barrera, se puede atravesar!!!

Ya nos salió algo similar a el efecto túnel: las partículas "podían atravesar", pero asegurada salían.

Ahí, como ahora la barrera es finita, la partícula puede atravesar la barrera. Este efecto, observable, se denomina efecto túnel.

El fenómeno se ha observado, y es muy importante.

Veamos casos prácticos:

Es muy común que $\chi a \gg 1 \Rightarrow \hbar^2 \chi a \sim \frac{e^{2\chi a}}{4}$

$$T \approx \frac{4E(V_0 - E)}{4E(V_0 - E) + \frac{V_0^2}{4} e^{\frac{2a}{\hbar} \sqrt{2m(V_0 - E)}}$$

así, a el denominador domina la exponencial ($\chi a \gg 1$):

$$T \approx \frac{16E(V_0 - E)}{V_0^2} e^{-\frac{2a}{\hbar} \sqrt{2m(V_0 - E)}}$$

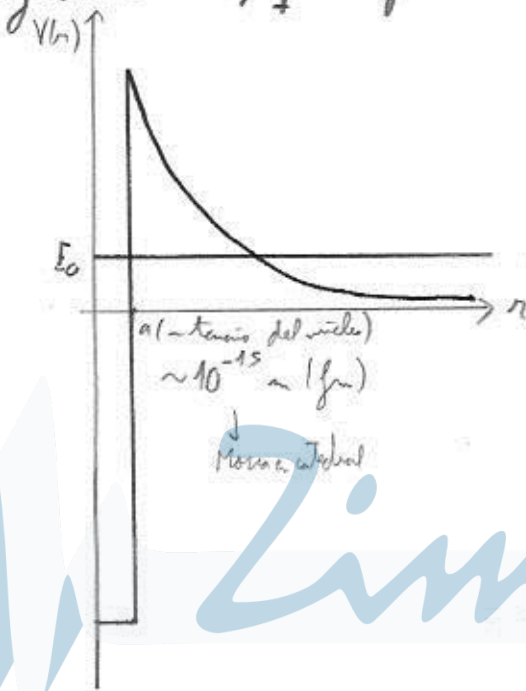
oí, si $\chi a \gg 1$, T es muy pequeño (la exponencial es de exponente muy negativo)

Una manera de ver esto es que en un estado estacionario hay una probabilidad no nula de encontrar $T > V_0$.

El primer efecto que se asoció a esto fue la desintegración α : para $Z > 80$, la mayoría de los núcleos emite partículas α :

Carga $Z-2$ $\xrightarrow{\text{carga } 2}$ α \Rightarrow Hay un potencial de interacción entre el núcleo (carga $Z-2$) y la partícula α : $V(r) = \frac{(Z-2)2e^2}{4\pi\epsilon_0 r}$

Ahora, para r pequeñas, hay otros tipos de interacciones (fuerza nuclear fuerte), atractivas de muy corto alcance; que ligarán a la partícula α si estamos ahí:



Es un hecho experimental que las partículas α son muy monomórficas: tienen todas una energía muy parecida. Dicha energía E_0 es claramente inferior al máximo de ese potencial (tl. experimental)

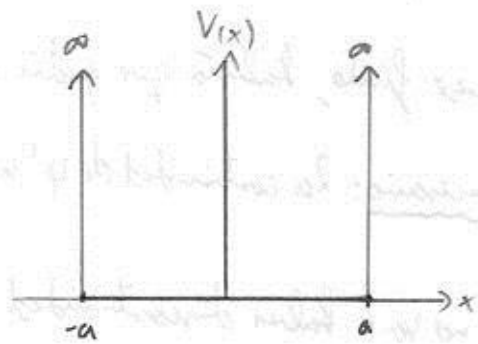
La idea es la misma: hay efectos túnel a través de la barrera. Dependiendo de la energía, T será mayor o menor

E_0 es propio de cada núcleo (es la energía que a cada núcleo tiene la partícula α)

Cuanto mayor sea E_0 , más rápida es la tasa de emisión. Esta velocidad es muy sensible a E_0 (veremos en problemas)

POZO INFINITO

$$V(x) = \begin{cases} 0 & -a \leq x \leq a \\ \infty & |x| > a \end{cases}$$



Resolvamos la ecuación de Schrödinger:

Para $|x| > a$, como $V = V_0$ y luego $V_0 \rightarrow \infty$:

$$-\frac{\hbar^2}{2m} \psi'' + V_0 \psi = E \psi$$

$$\Downarrow$$
$$\psi'' - \chi^2 \psi = 0 \quad \left(\chi \equiv \frac{\sqrt{2m(V_0 - E)}}{\hbar} \right) \rightarrow \text{Notar que con } V_0 \rightarrow \infty, \chi \text{ es un número}$$

$$\Downarrow$$
$$\psi = A e^{\chi x} + B e^{-\chi x}$$

Para fijar ideas, nos fijamos en $x > a \Rightarrow A = 0$ por normalización
Según $V_0 \rightarrow +\infty$, el exponente va a $-\infty \forall x \Rightarrow \psi = 0 \forall x > a$

Análogo con $x < a$:

$$\forall x \text{ tal } |x| > a; \psi(x) = 0$$

Para $|x| < a$: $-\frac{\hbar^2}{2m} \psi'' = E \psi \Leftrightarrow \psi'' + k^2 \psi = 0 \quad \left(k \equiv \frac{\sqrt{2mE}}{\hbar} \right) \rightarrow > 0$ y real f.g. E debe ser mayor que 0

$$\text{Así, } \psi(x) = A e^{ikx} + B e^{-ikx}$$

$$\text{Ejemplo con lo que pasa fuera: } \begin{cases} A e^{ika} + B e^{-ika} = 0 \\ A e^{-ika} + B e^{ika} = 0 \end{cases}$$

Si V_0 fuese finito, habría que pedir continuidad a la derivada. Pero al ser infinito, no es necesario: la continuidad de ψ' se pide para evitar problemas de Schrodinger con ψ'' , pero $V = \infty$ ya nos los rete!!

Finalmente, no va a haber discontinuidad en ψ' (no hay potenciales infinitos): es un problema matemático debido a la idealización del problema, no físico.

Volviendo al problema: tenemos dos ecuaciones y dos incógnitas (hasta ahora todas son incógnitas que ecuaciones)

Al ser un sistema homogéneo, para existir solución única y trivial ($\psi=0$ no deja sin función de onda) debemos imponer que el determinante sea 0:

$$\begin{vmatrix} e^{ika} & e^{-ika} \\ e^{-ika} & e^{ika} \end{vmatrix} = 0 \rightarrow \text{solo algunos } k \text{ nos permitirán hallar soluciones no triviales de Schrodinger} \Leftrightarrow \text{HAY CUANTIZACIÓN}$$

$$\Downarrow$$

$$e^{2ika} - e^{-2ika} = 0 \Leftrightarrow \sin 2ka = 0 \Leftrightarrow 2ka = n\pi \quad (n \in \mathbb{N})$$

↳ para $k > 0$

Después lo usamos del resto de la ecuación (cuálquier real)

$$A_n; \psi = A e^{i \frac{n\pi}{2a} x} + B e^{-i \frac{n\pi}{2a} x}; \text{ con } A e^{i \frac{n\pi}{2}} + B e^{-i \frac{n\pi}{2}} = 0$$

$$A = -B e^{-i n\pi} = (-1)^{n+1} B \Leftrightarrow B = (-1)^{n+1} A$$

$(-1)^n$

$$A_n; \psi = A \left[e^{i \frac{n\pi x}{2a}} + (-1)^{n+1} e^{-i \frac{n\pi x}{2a}} \right] \text{ (siempre como resultado de su respectiva ecuación)}$$

Notar que si $n=0$, $\psi=0 \Rightarrow n \neq 0$

Resumiendo:

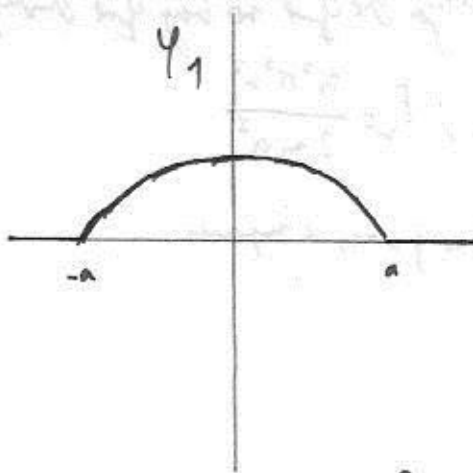
$$k = \frac{n\pi}{2a}; \quad n = 1, 2, 3, \dots$$

$$E_n = \frac{\hbar^2 n^2 \pi^2}{8ma^2}$$

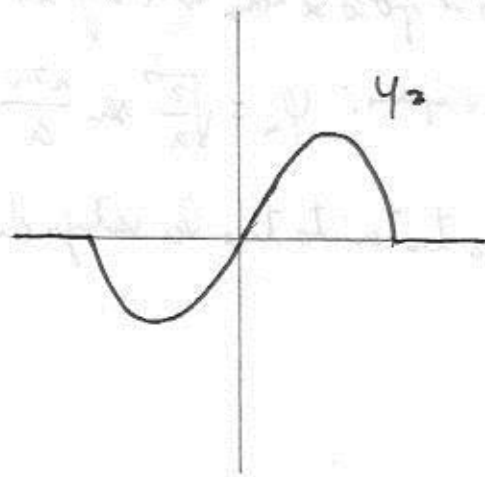
$$\psi_n = \begin{cases} A_n \cos \frac{n\pi x}{2a} & \text{si } n \text{ es par} \\ B_n \sin \frac{n\pi x}{2a} & \text{si } n \text{ es impar} \end{cases}; \quad A_n = B_n = \sqrt{\frac{1}{a}} \text{ normalizar}$$

(sobre $(-a, a)$; fuera $\psi=0$)

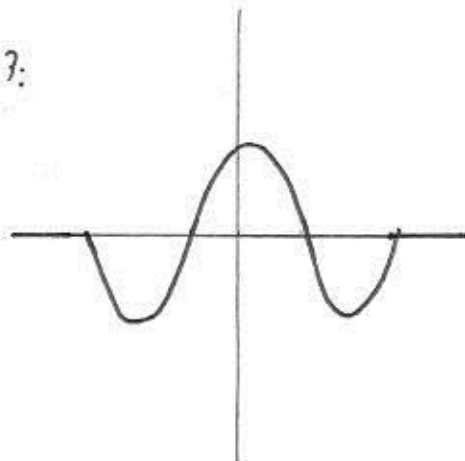
$n=1$:



$n=2$:



$n=3$:



Notes:

• For n pairs or impairs (the potential is par and no degeneración)

• Hay cada vez un modo más

• $(\psi_n, \psi_m) = \delta_{nm}$

• La energía más baja, $\frac{\hbar^2 \pi^2}{8ma^2}$, es estrictamente mayor que el mínimo de potencial, 0, \Rightarrow región

de punto cero.

Esto no tiene análogo clásico.

Se puede entender por Heisenberg: si están confinada, no pueden estar quietos.

$$\Delta x \sim a$$

$\Delta p \sim \hbar/a$. Debido a $p \sim \Delta p$ (de incertidumbre); $E \sim \frac{1}{2m} \frac{\hbar^2}{a^2}$ - del orden de magnitud correcto

• El problema está resuelto:

$$\psi(x,t) = \sum_{n=1}^{\infty} c_n \psi_n(x) e^{-\frac{i E_n t}{\hbar}} ; \text{ con } c_n = (\psi_n, \psi(x,0))$$

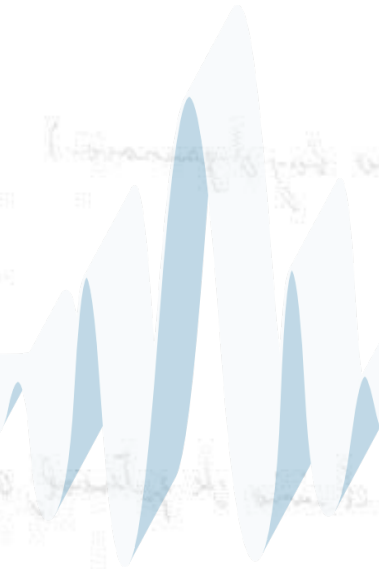
\hookrightarrow Como todas las ψ_n vale afuera del pozo, ψ vale afuera del pozo \Rightarrow la partícula nunca sale

Zimatek

A veces el pozo se toma entre 0 y a. Esto tiene la ventaja de que no hay que distinguir entre

si el pozo es impar: $\psi_n = \sqrt{\frac{2}{a}} \sin \frac{n\pi x}{a} \quad \forall n = 1, 2, 3, \dots; \quad E_n = \frac{\hbar^2 \pi^2 n^2}{2ma^2}$

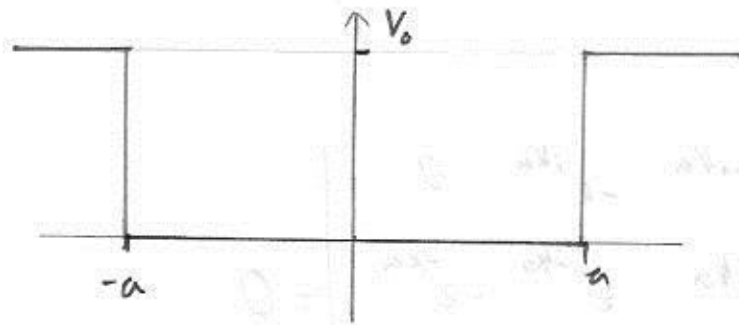
El otro tratamiento tiene la ventaja de que salen funciones pares e impares.



Zimatek



POZO FINITO



$E \leq V_0$: defina

$$k = \frac{\sqrt{2mE}}{\hbar} \geq 0 \quad (E > 0 \text{ por normalizabilidad})$$

$$\chi = \frac{\sqrt{2m(V_0 - E)}}{\hbar} \geq 0 \quad (E < V_0 \text{ por sistema})$$

$$\text{Como signo, } \chi = \sqrt{k_0^2 - k^2}; \text{ con}$$

$$k_0 = \frac{\sqrt{2mV_0}}{\hbar}$$

La ecuación de Schrödinger queda:

$$\begin{cases} \psi'' - \chi^2 \psi = 0 & \text{si } x < -a \\ \psi'' + k^2 \psi = 0 & \text{si } -a < x < a \\ \psi'' - \chi^2 \psi = 0 & \text{si } x > a \end{cases}$$

cuya resolución es inmediata:

$$\psi(x) = \begin{cases} A e^{\chi x} & \text{si } x < -a \\ B e^{ikx} + C e^{-ikx} & \text{si } -a < x < a \\ D e^{-\chi x} & \text{si } x > a \end{cases}$$

donde ya he quitado los términos divergentes. Hay que hacer los acoplamiento en $x = -a$ y $x = a$:

$$\begin{cases} A e^{-\chi a} = B e^{-ika} + C e^{ika} \\ B e^{ika} + C e^{-ika} = D e^{-\chi a} \\ \chi A e^{-\chi a} = ik B e^{-ika} - ik C e^{ika} \\ ik B e^{ika} - ik C e^{-ika} = -\chi D e^{-\chi a} \end{cases}$$

tengo un sistema homogéneo con tantas ecuaciones como incógnitas, para evitar soluciones triviales

debo pedir:

$$\Delta = \begin{vmatrix} e^{-\chi a} & -e^{-ika} & -e^{ika} & 0 \\ 0 & e^{ika} & e^{-ika} & -e^{-\chi a} \\ \chi e^{-\chi a} & -ike^{-ika} & ike^{ika} & 0 \\ 0 & ike^{ika} & -ike^{-ika} & \chi e^{-\chi a} \end{vmatrix} = 0$$

comienzo hacer los detes 3×3 , aunque sea con ayuda infinitiva. Queda:

$$\left(\cos 2ka + \frac{\chi}{k} \sin 2ka \right)^2 = 1$$

una ecuación transmitida a k :

$$\cos 2ka + \frac{\chi}{k} \sin 2ka = \pm 1$$

estudiarémos ambas signos por separado.

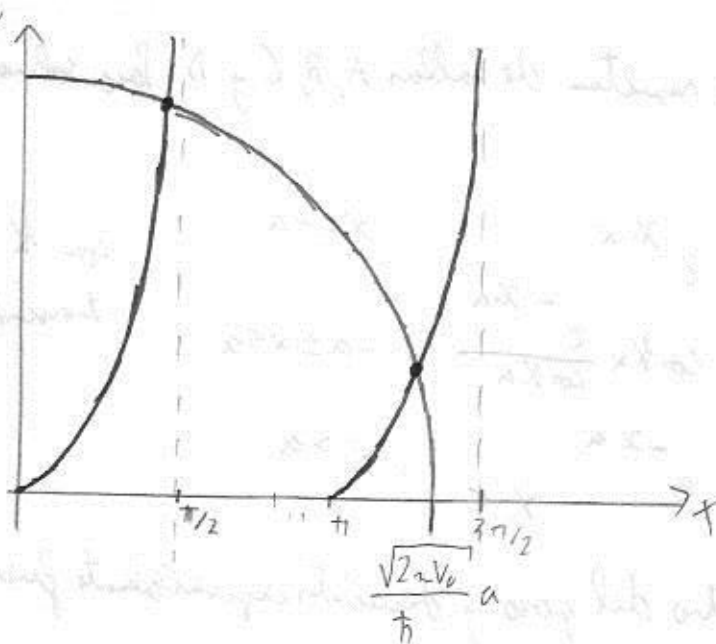
$$\oplus \text{ Tipo 1: } \operatorname{tg} ka = \frac{\chi}{k}$$

$$\ominus \text{ Tipo 2: } \operatorname{cotg} ka = -\frac{\chi}{k}$$

los valores propios

$$\text{Defino: } \begin{cases} X = ka \\ Y = \chi a \end{cases} \left. \begin{array}{l} X^2 + Y^2 = \frac{2m\chi_0}{\hbar^2} a^2 \\ \text{y además:} \end{array} \right\} \begin{array}{l} \oplus \operatorname{tg} X = \frac{Y}{X} \Leftrightarrow Y = X \operatorname{tg} X \\ \ominus \operatorname{cotg} X = -\frac{Y}{X} \Leftrightarrow Y = -X \operatorname{cotg} X \end{array}$$

Dibujamos Y frente a X . Me centré al 1º cuadrante, pues ahora son positivos (no dibujo lo que son negativos):

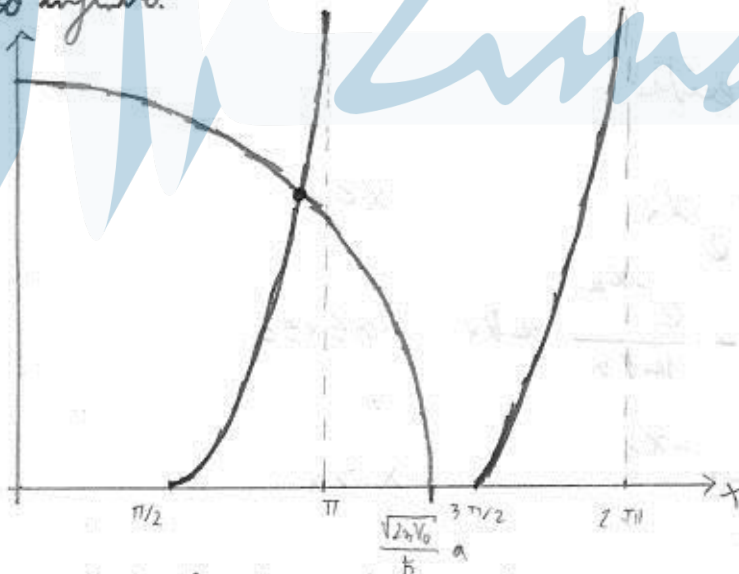


No es exacto $Y = \tan X$,
 sino $X = \tan X$; pero da una
 buena idea.

• Así, habrá, en general, un número finito de soluciones, más cuanto mayor sea $\frac{\sqrt{2nV_0}}{h} a$: al pasar por $\pi, 2\pi, \dots, n\pi$ se añade cada vez una solución.

• Hay siempre al menos una.

• Si $V_0 \rightarrow \infty$, hay infinitas soluciones, con $X = \frac{(2n+1)\pi}{2}$, que son energías de las que nos han salido a el paso infinito.



(Nota que $\tan X = \cot X$)

• Habrá, en general, un número finito de soluciones (este aspecto es clave)

• Si $\frac{\sqrt{2nV_0}}{h} a < \frac{\pi}{2}$, no hay solución.

→ Más soluciones cuando $\frac{\sqrt{2nV_0}}{h} a$
 → Se añade solución al pasar por $\frac{(2n+1)\pi}{2}$

• Si $V_0 \rightarrow \infty$, hay infinitas soluciones, con $X = n\pi$, según de los que han salido a el paso

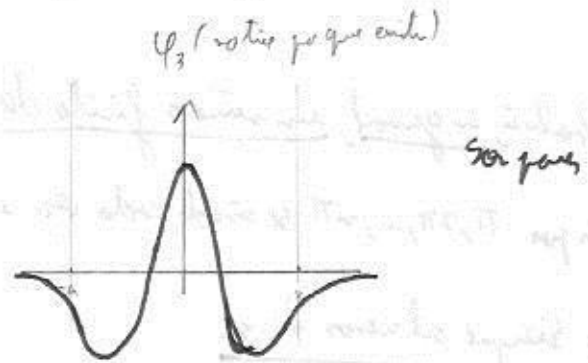
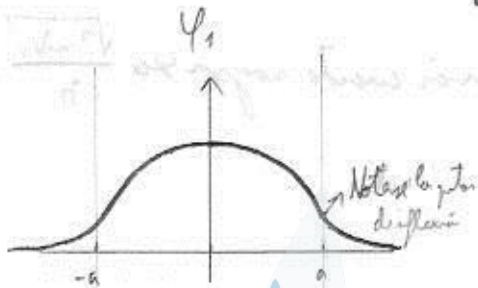
• Notese que se alternan soluciones de tipo 1 y 2.

Las funciones de onda resultan de hallar A, B, C y D. Para soluciones de tipo 1 son, sin normalizar:

$$\psi(x) = \begin{cases} e^{\chi x} & x < -a \\ \cos kx \frac{e^{-\chi a}}{\cos ka} & -a \leq x \leq a \\ e^{-\chi x} & x > a \end{cases}$$

con K la solución de la ecuación trascendente y $\chi = \sqrt{k_0^2 - a^2}$

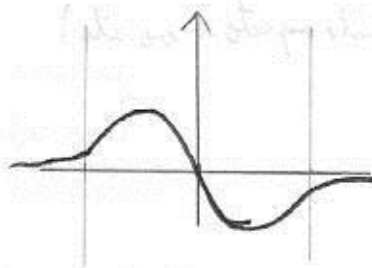
Son ondas dadas del pozo y decaen exponencialmente fuera:



Notas que son $\psi = 0$ a los bordes, sino que decaen exponencialmente

Y las de tipo 2, si existen:

$$\psi(x) = \begin{cases} e^{\chi x} & x < -a \\ -\frac{e^{-\chi a}}{\cos ka} \cos kx & -a \leq x \leq a \\ -e^{-\chi x} & x > a \end{cases}$$



Son impares

Zimatek

• Para $E > V_0$, como con la barrera de potencial (un pozo es una barrera con V negativo)

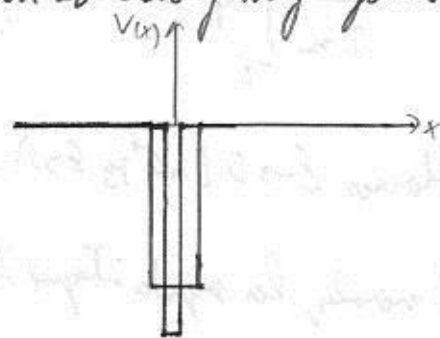


Zimatek

POTENCIAL ATRACTIVO DELTA DE DIRAC

Se puede entender como el paso al límite de un pozo de potencial estrecho y muy negativo.

$$V(x) = -\alpha \delta(x); \alpha > 0$$



Resolvamos Schrödinger:

$$-\frac{\hbar^2}{2m} \psi'' - \alpha \delta(x) \psi = E \psi$$

para $x < 0$ y $x > 0$ tenemos a la partícula libre.

Buscamos estados de energía negativa (ligados), (hay de $E > 0$, pero no están ligados)

$$\begin{cases} -\frac{\hbar^2}{2m} \psi'' = E \psi & \text{si } x < 0 \\ -\frac{\hbar^2}{2m} \psi'' = E \psi & \text{si } x > 0 \end{cases}$$

si definimos $\chi = \frac{\sqrt{-2mE}}{\hbar} > 0$; y eliminamos soluciones divergentes:

$$\psi(x) = \begin{cases} A e^{\chi x} & \text{si } x < 0 \\ A e^{-\chi x} & \text{si } x > 0 \end{cases}$$

donde ya se impone continuidad en ψ .

de nuevo, no podemos pedir continuidad en ψ' por la δ (física, esto es, no idealización)

Habrán un salto dado por la δ . bien vale mejor, integrar Schrödinger:

$$-\frac{\hbar^2}{2m} \int_{-\epsilon}^{\epsilon} \psi''(x) dx - \alpha \int_{-\epsilon}^{\epsilon} \delta(x) \psi(x) dx = E \int_{-\epsilon}^{\epsilon} \psi(x) dx$$

Hacemos $\epsilon \rightarrow 0$ ($\alpha > 0$ y $\epsilon > 0$). Al hacer $\epsilon \rightarrow 0$, $\int_{-\epsilon}^{\epsilon} \psi(x) dx \rightarrow 0$ por ser ψ finita. Nota que para V normal, la segunda integral también $\rightarrow 0$ y no tengo saltos a la derivada. Así:

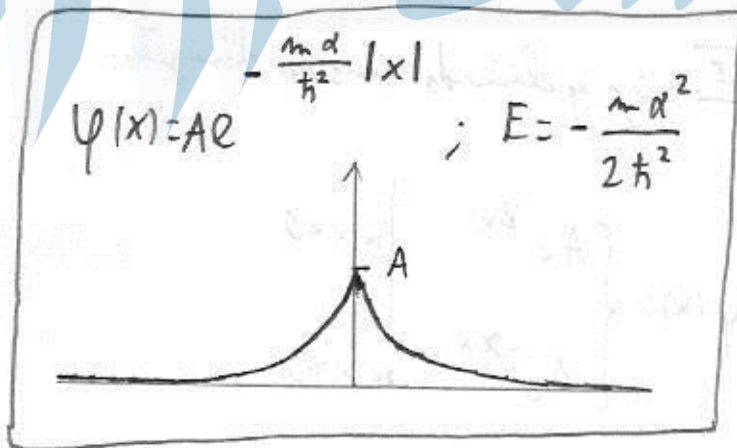
$$-\frac{\hbar^2}{2m} [\psi'(0^+) - \psi'(0^-)] - \alpha \psi(0) = 0$$

Propuesta condición:

$$-x A e^{-x \cdot 0} - x A e^{x \cdot 0} = -\frac{2m\alpha}{\hbar^2} A$$

$$x = \frac{m\alpha}{\hbar^2}$$

Así, no sólo hay cuantización, sino que hay un único estado ligado:



Con esta m mayor α

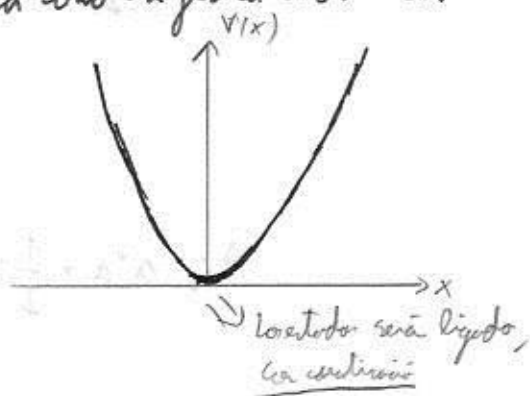
• Para $E > 0$, solo ondas planas y cosas sin interés

OSCILADOR ARMÓNICO SIMPLE UNIDIMENSIONAL

- Es la primera aproximación a un sistema en equilibrio estable.
- Además, tiene solución analítica, tanto en física clásica como en física cuántica.

$$V(x) = \frac{1}{2} k x^2$$

donde se suele escribir $k \equiv m \omega^2$



- El Hamiltoniano es $H = \frac{p^2}{2m} + \frac{1}{2} m \omega^2 x^2$
- La ecuación de Schrödinger independiente del tiempo es:

$$H \psi_n = E_n \psi_n$$

en lugar de resolver la EDO (método analítico); vamos a emplear lo que se llama método algebraico.

- Reescribiremos H en términos de otros dos operadores básicos que van a sustituir a x y p :

$$a = \sqrt{\frac{m\omega}{2\hbar}} x + \frac{i}{\sqrt{2m\hbar\omega}} p \rightarrow \text{Operador de aniquilación}$$

$$a^+ = \sqrt{\frac{m\omega}{2\hbar}} x - \frac{i}{\sqrt{2m\hbar\omega}} p \rightarrow \text{Operador de creación}$$

dos operadores que no son hermiticos (no representan nada físicamente). De hecho, uno es el adjunto del otro.

Sea dos operadores que no conmutan entre sí:

$$[a, a^+] = \sqrt{\frac{m\omega}{2\hbar}} \frac{-i}{\sqrt{2m\hbar\omega}} [x, p] + \sqrt{\frac{m\omega}{2\hbar}} \frac{i}{\sqrt{2m\hbar\omega}} [p, x] = 2 \cdot \frac{-i}{2\hbar} i \hbar = 1$$

$$[x, x] = 0$$

$$[p, p] = 0$$

$$[x, p] = i \hbar$$

$$a^+ a = a a^+ + 1$$

• Escriban H en términos de a y a^\dagger . Paso 1:

$$a^\dagger a = \frac{m\omega}{2\hbar} x^2 + \frac{1}{2m\hbar\omega} p^2 + \underbrace{\frac{i}{\sqrt{2m\hbar\omega}} \sqrt{\frac{m\omega}{2\hbar}} x p - \frac{i}{\sqrt{2m\hbar\omega}} \sqrt{\frac{m\omega}{2\hbar}} p x}_{\frac{i}{\sqrt{2m\hbar\omega}} \sqrt{\frac{m\omega}{2\hbar}} (x p - p x) = \frac{-\hbar}{2\hbar} = -\frac{1}{2}}$$

$$\text{Así, } a^\dagger a + \frac{1}{2} = \frac{m\omega}{2\hbar} x^2 + \frac{p^2}{2m\hbar\omega}$$

⊙

$$(a^\dagger a + \frac{1}{2}) \hbar\omega = \frac{1}{2} m\omega^2 x^2 + \frac{p^2}{2m} = H!!!$$

• Si denotamos $a^\dagger a \equiv N$ (operador número) es hermitico

(es muy fácil de demostrar, que $(AB)^\dagger = B^\dagger A^\dagger$, y aplicándolo a $(A^\dagger A)^\dagger = A^\dagger A^{\dagger\dagger} = A^\dagger A$, basta $\forall A$)

• Por tanto, $H = (N + \frac{1}{2}) \hbar\omega \Rightarrow$ hallaré los valores propios del operador número

• Relación falta:

$$[N, a] = a^\dagger a a - a a^\dagger a = (a^\dagger a - a a^\dagger) a = -a$$

$$[N, a^\dagger] = (\dots) = a^\dagger$$

• Diagonalizo N : $N\psi_\nu = \nu\psi_\nu$. Esto tiene varias propiedades:

• $\nu \geq 0$: Demostración: consideramos $(a\psi_\nu, a\psi_\nu) \geq 0$ (def. positiva)

$$(a\psi_\nu, a\psi_\nu) = (\psi_\nu, a^\dagger a\psi_\nu) = (\psi_\nu, N\psi_\nu) =$$

$$= \nu (\psi_\nu, \psi_\nu) \Rightarrow \nu \geq 0$$

≥ 0 (debido a que el producto interno es positivo)

• $\nu = 0 \Leftrightarrow a\psi_\nu = 0$ (se ve inmediatamente por la no degeneración del producto interno)

$v \neq 0 \Rightarrow a \psi_v$ es autofunción de N , de valor propio $v-1$
 $\neq 0$ por la misma

Demostración:

$(a \psi_v, a \psi_v) = v (\psi_v, \psi_v)$

$v = 0 \Rightarrow (a \psi_v, a \psi_v) = 0 \Leftrightarrow a \psi_v = 0$ C.Q.D.

$a \psi_v = 0 \Leftrightarrow (a \psi_v, a \psi_v) = 0 \Rightarrow v = 0$

$(\psi_v, \psi_v) \neq 0$
 por ser la norma propia
 no trivial

Hacemos actuar $[N, a]$ sobre ψ_v :

$a^+ a a \psi_v - a a^+ a \psi_v = -a \psi_v$

$N(a \psi_v) = \underbrace{a a^+ a \psi_v}_N - a \psi_v$

$N(a \psi_v) = a \underbrace{N \psi_v}_{v \psi_v} - a \psi_v = \underbrace{v a \psi_v}_{\text{alíbr}} - a \psi_v$

Entonces $N(a \psi_v) = (v-1) a \psi_v$ C.Q.D.

Análogo:

$a^+ \psi_v \neq 0$; y es autofunción de N de valor propio $v+1$

Demostración: $(a^+ \psi_v, a^+ \psi_v) = (\psi_v, \underbrace{a a^+ \psi_v}_{a^+ a^+ 1 \cdot N + 1}) = (\psi_v, N \psi_v) + (\psi_v, \psi_v) =$

$= (v+1)(\psi_v, \psi_v) > 0 \Leftrightarrow a^+ \psi_v \neq 0$ C.Q.D.

$> 1 \Rightarrow > 0$ > 0 (por ser norma)

De nuevo, hacemos actuar $[N, a^\dagger] = a^\dagger$ sobre ψ_ν :

$$N(a^\dagger \psi_\nu) = a^\dagger N \psi_\nu = a^\dagger \psi_\nu$$

$$N(a^\dagger \psi_\nu) = (\nu + 1) a^\dagger \psi_\nu \quad (\text{C.Q.D.})$$

Es decir, el operador creación hecha a 1 el valor propio, y el aniquilación lo resta.
Pero sabemos que ν es un número entero ≥ 0 .

Entonces:

Los valores propios del operador N son números enteros mayores o iguales que 0:

$$\nu = 0, 1, 2, \dots$$

Demostración

por parte:

$\forall \nu$ valor propio, $\nu \in \mathbb{N}^+$: reducción al absurdo



Como $\nu \neq 0$, $a \psi_\nu \neq 0$ y tiene v.p. $\nu - 1$

\Downarrow luego $a \psi_\nu \neq 0 \wedge \nu - 1 \neq 0$

$a^2 \psi_\nu \neq 0$ y tiene v.p. $\nu - 2$

\Downarrow

(...)

\Downarrow

$a^n \psi_\nu \neq 0$ y tiene v.p. $\nu - n$

\Downarrow

$a^{n+1} \psi_\nu \neq 0$ y tiene v.p. $\nu - n - 1 \Rightarrow$ ABSURDO

La única forma de salir de esto es que $\nu - n = 0 \Leftrightarrow \nu = n$: se llega a ψ_0 , con valor propio 0; y $a(\psi_0) = 0$; lo que nos impide tener la última implicación.

$\forall n \in \mathbb{N}^+$, n es valor propio: para esto, por inducción, basta con demostrar que 0 es valor propio. Lo demostramos luego explícitamente.

• Así, como $H = (N + \frac{1}{2})\hbar\omega$ y N tiene de valores propios $n \in \mathbb{N}^+$:

$$E_n = (n + \frac{1}{2})\hbar\omega$$

$$n = 0, 1, 2, \dots$$

• Vayamos a las funciones propias (serán tl. de H). Para el estado base, como $v=0 \Leftrightarrow a\psi_0=0$; buscar el estado base está truco:

$$a\psi_0=0 \quad (\text{que } N\psi_0=0 \Rightarrow a\psi_0=0; \text{ y como } a\psi_0=0 \Rightarrow a^+a\psi_0=0 \Leftrightarrow N\psi_0=0)$$

$$\left[\sqrt{\frac{m\omega}{2\hbar}} x + \frac{i}{\sqrt{2m\hbar\omega}} \hbar \frac{d}{dx} \right] \psi_0 = 0$$

$$2m\omega x \psi_0 + \hbar \psi_0' = 0$$

Una opción \leftarrow $\psi_0 = A e^{-\frac{m\omega x^2}{2\hbar}}$; $A = \left(\frac{m\omega}{\pi\hbar}\right)^{1/4}$ *no se analiza esto*

notar que no hay degeneración (he hallado el estado base p.g. $N\psi_0=0 \Leftrightarrow a\psi_0=0$)

Y los estados excitados:

• En principio suponemos que hay degeneración: $\psi_n^{(i)}$

$n=1$: $a(\psi_1^{(i)}) = c^{(i)} \psi_0$, al no haber degeneración en el estado base \Downarrow opción a^+

$$\underbrace{a^+ a}_{N} \psi_1^{(i)} = c^{(i)} a^+ \psi_0$$

$\psi_1^{(i)} = c^{(i)} (a^+ \psi_0) \Rightarrow$ Todas las $\psi_1^{(i)}$ son proporcionales entre sí, al diferir tan sólo a un mlt. $c^{(i)}$
 \Downarrow
 No hay degeneración

$n > 1$: análogamente, sale por inducción

NO HAY DEGENERACIÓN

al no haber degeneración, es fácil obtener los estados excitados:

$$\psi_1 = C_1 a^+ \psi_0 ; \text{ con } C_1 \text{ para normalizar (se toma } \in \mathbb{R}^+ \text{):}$$

$$(\psi_1, \psi_1) = C_1^2 (a^+ \psi_0, a^+ \psi_0) = 1$$

$$C_1^2 (\psi_0, \underbrace{a a^+}_{0 \cdot 0 + 1} \psi_0) = 1$$

$$C_1^2 [(\psi_0, N \psi_0) + (\psi_0, \overset{1}{\psi_0})] = 1 \Rightarrow C_1 = 1$$

An: $\psi_1 = a^+ \psi_0$

Análogamente:

$$\psi_2 = C_2 a^+ \psi_1$$

(...)

$$C_2^2 (\psi_1, (N+1)\psi_1) = 1$$

$$C_2^2 [(\psi_1, \psi_1) + (\psi_1, \psi_1)] = 1 \Rightarrow C_2 = \frac{1}{\sqrt{2}}$$

$$\psi_2 = \frac{1}{\sqrt{2}} a^+ \psi_1$$

Y, en general, $\psi_{n+1} = C_{n+1} a^+ \psi_n$

(...)

$$C_{n+1}^2 (\psi_n, \overbrace{(N+1)\psi_n}^{n+1}) = 1$$

$$C_{n+1} = \frac{1}{\sqrt{n+1}}$$

$$\psi_{n+1} = \frac{1}{\sqrt{n+1}} a^+ \psi_n$$

Ψ , para ser aún más general:

$$\Psi_{n+1} = \frac{1}{\sqrt{(n+1)(n)\dots 1}} (a^+)^{n+1} \Psi_0$$

$$\Psi_n = \frac{1}{\sqrt{n!}} (a^+)^n \Psi_0$$

• Veremos qué pasa con el operador aniquilador:

$$a \Psi_{n+1} = \frac{1}{\sqrt{n+1}} \frac{a a^+ \Psi_n}{N+1} \Leftrightarrow a \Psi_{n+1} = \frac{n+1}{\sqrt{n+1}} \Psi_n$$

$$\begin{array}{l} a \Psi_n = \sqrt{n} \Psi_{n-1} \\ a^+ \Psi_n = \sqrt{n+1} \Psi_{n+1} \end{array}$$

→ Válido tl. para $n=0$, por $\sqrt{0}=0$
 → Muy interesante y útil

Muy simétrica con:

$$\forall n \in \mathbb{N}^*$$

Limatek

• Estas fórmulas son muy útiles para hacer cálculos; pero todo se simplifica si poseen todas las propiedades a priori de a y a^+ :

- Δx y Δp para un estado Ψ_n :

$$\begin{aligned} x = \sqrt{\frac{\hbar}{2m\omega}} (a + a^+) : \langle x \rangle &= \sqrt{\frac{\hbar}{2m\omega}} \langle a + a^+ \rangle = \\ &= \sqrt{\frac{\hbar}{2m\omega}} \left(\underbrace{\langle \Psi_n, a \Psi_n \rangle}_{\text{Cero ortogonal}} + \underbrace{\langle \Psi_n, a^+ \Psi_n \rangle}_{\propto \Psi_{n-1}} \right) = 0 \end{aligned}$$

$$x^2 = \frac{\hbar}{2m\omega} (a^2 + a^{+2} + \underbrace{a a^+ + a^+ a}_{\text{oper}}) : \langle x^2 \rangle :$$

• a^2 no contribuye por ortogonal
 • a^{+2} " " " "

$$\bullet a a^+ = a^+ a + 1$$

$$\text{Así, } \langle x^2 \rangle = \frac{\hbar}{2m\omega} \langle \underbrace{2 a a^+ + 1}_N \rangle = \frac{\hbar}{2m\omega} (2n+1)$$

$$\Delta x = \sqrt{\frac{\hbar}{2m\omega}} \sqrt{2n+1}$$

$$p = i \sqrt{\frac{m\hbar\omega}{2}} (a^\dagger - a) : \quad \langle p \rangle = 0 \text{ por la simetría que antes}$$

$$p^2 = -\frac{m\hbar\omega}{2} (a^\dagger + a)^2 = -\frac{m\hbar\omega}{2} (a^\dagger a^\dagger + a^\dagger a + a a^\dagger + a a a) : \text{ como antes, } \langle p^2 \rangle = \frac{m\hbar\omega}{2} \langle a^\dagger a + a a^\dagger \rangle =$$

$$= \frac{m\hbar\omega}{2} \langle 2N+1 \rangle =$$

$$= \frac{m\hbar\omega}{2} (2n+1)$$

$$\Delta p = \sqrt{\frac{m\hbar\omega}{2}} \sqrt{2n+1}$$

(Notar que $\Delta x \Delta p = \frac{\hbar}{2} (2n+1) \geq \frac{\hbar}{2}$, estado de mínima incertidumbre)

$$\langle \psi_n, x \psi_{n-1} \rangle = \sqrt{\frac{\hbar}{2m\omega}} \langle \psi_n, a^\dagger \psi_{n-1} \rangle = \sqrt{\frac{\hbar}{2m\omega}} \frac{1}{\sqrt{n}} \langle \psi_n, \psi_{n-1} \rangle$$

• Veremos ya a los estados estacionarios: (todo esto vale para cualquier dimensión)

$$\psi_n(x) = \frac{1}{\sqrt{n!}} (a^\dagger)^n \psi_0 = \frac{1}{\sqrt{n!}} \frac{1}{\sqrt{2^n}} \left(\sqrt{\frac{m\omega}{\hbar}} x - \sqrt{\frac{\hbar}{m\omega}} \frac{d}{dx} \right)^n \psi_0(x)$$

$$\psi_0(x) = \left[\frac{m\omega}{\pi\hbar} \right]^{1/4} e^{-\frac{m\omega x^2}{2\hbar}}$$

$$\psi_1(x) = \left[\frac{4}{\pi} \left(\frac{m\omega}{\hbar} \right)^3 \right]^{1/4} x e^{-\frac{m\omega x^2}{2\hbar}}$$

$$\psi_2(x) = \left[\frac{m\omega}{4\pi\hbar} \right]^{1/4} \left[2 \frac{m\omega}{\hbar} x^2 - 1 \right] e^{-\frac{m\omega x^2}{2\hbar}}$$

y una forma más general es:

$$\psi_n(x) = C_n H_n \left(\sqrt{\frac{m\omega}{\hbar}} x \right) e^{-\frac{m\omega}{2\hbar} x^2}$$

con:

- C_n una de. de normalización

- H_n el polinomio de Hermite de grado n :

$$H_0 = 1$$

$$H_1(y) = 2y$$

$$H_2(y) = 4y^2 - 2$$

$$H_3(y) = 8y^3 - 12y$$

...

$$H_n(y) = 2y H_{n-1}(y) - 2(n-1) H_{n-2}(y)$$

• Otro camino a seguir podría haber sido resolver la ecuación de Schrödinger:

$$-\frac{\hbar^2}{2m} \frac{d^2}{dx^2} \psi + \frac{1}{2} m\omega^2 x^2 \psi = E\psi$$

Se hace el cambio de variable:

- Independiente: $y = \sqrt{\frac{m\omega}{\hbar}} x$

- Dependiente: $\psi = e^{-\frac{y^2}{2}} f$

y se llega a: $f'' - 2yf' + \left(\frac{E}{\hbar\omega/2} - 1 \right) f = 0 \rightarrow$ Ecuación de Hermite

una EDO lineal homogénea de 2º orden. Se puede atacar por solución por series. Hay dos

soluciones l.i.:

- Una siempre diverge en $\pm\infty$

- la otra en general también puede divergir; salvo cuando $\frac{E}{\hbar\omega/2} - 1 = 2n$

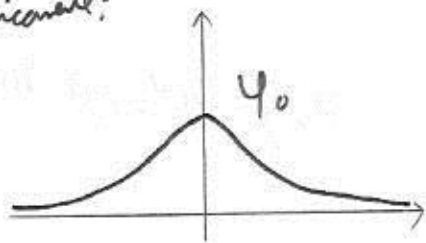
(se queda con la serie)

↳ Aquella polinomio, los polinomios de Hermite

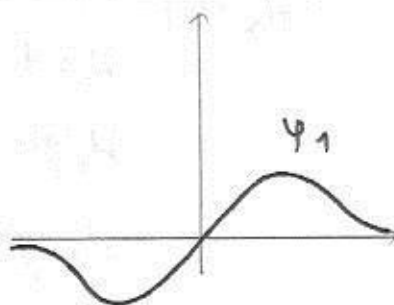
• Constantes:

- Los polinomios de Hermite tienen paridad definida dada por $n \Rightarrow \psi_n$ tiene la paridad de n . Esto era lógico por ser el potencial par y no haber degeneración.
- El estado de energía más bajo no es 0, es $\frac{1}{2} \hbar \omega \Rightarrow$ hay energía de punto cero. (se puede entender como consecuencia del p.p.o. de incertidumbre por el confinamiento que genera el potencial)

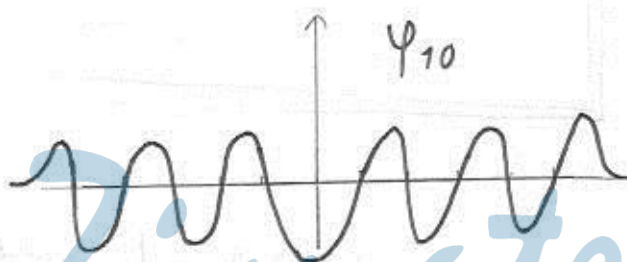
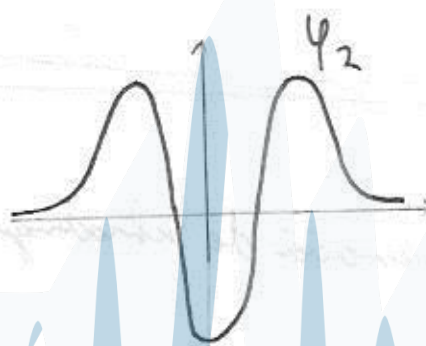
• Gráficamente:



Ground state



Ground state x



Según cuántos n , onda cada vez más: ψ_n tiene n nodos

PROPIEDADES CUALITATIVAS

Estudiamos propiedades genéricas de problemas unidimensionales

Teorema: en un problema unidimensional, todos los estados estacionarios ligados son no degenerados.

Demostración:

La ecuación de Schrödinger es: $-\frac{\hbar^2}{2m} \psi''(x) + V(x)\psi(x) = E\psi(x)$

Supongamos que dos funciones ψ y φ cumplen:

$$\psi'' = \frac{2m}{\hbar^2} [V(x) - E] \psi(x)$$

$$\varphi'' = \frac{2m}{\hbar^2} [V(x) - E] \varphi(x)$$

Hago $1^\circ \cdot \psi - 2^\circ \cdot \varphi$:

$$\psi \varphi'' - \varphi \psi'' = 0$$

\Downarrow

$$\frac{d}{dx} (\underbrace{\psi \varphi' - \varphi \psi'}_{=0}) = 0$$

$$\begin{vmatrix} \psi & \varphi \\ \psi' & \varphi' \end{vmatrix} \Rightarrow \text{El Wronskiano!!!}$$

Así, el Wronskiano no depende de x .

Si lo calculamos con $x \rightarrow \infty$, al ser estados estacionarios ligados, el Wronskiano es 0.

Así, ψ y φ son L.D. C.G.D.

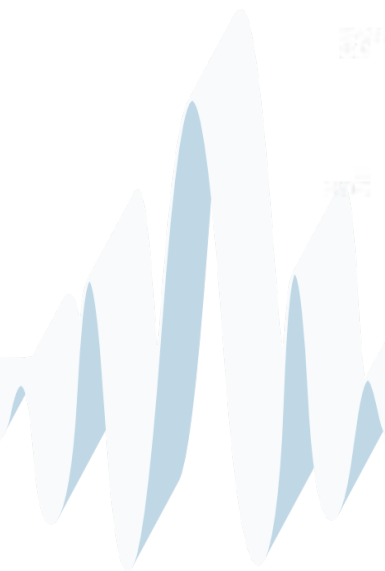
es más:

Los funciones de onda de los estados estacionarios se pueden tomar reales.

(Pues es una función tipo Schrödinger, ^{función real} en parte real e imaginaria tal vez la parte por la realidad)

Nota que la ecuación de evolución tiene un término en i que atopa el ψ

esto también se puede hacer en cualquier número de dimensiones, pues la ecuación de Schrödinger sigue siendo real.



Zimatek

POTENCIALES TRIDIMENSIONALES

SEPARABLES

EN CARTESIANAS

• Son potenciales del tipo $V(x, y, z) = V_1(x) + V_2(y) + V_3(z)$

• La ecuación de Schrödinger es (lo escribo en \mathbb{R}^2 pero es totalmente generalizable):

$$-\frac{\hbar^2}{2m} \left(\frac{\partial^2}{\partial x^2} + \frac{\partial^2}{\partial y^2} \right) \psi(x, y) + [V_1(x) + V_2(y)] \psi(x, y) = E \psi(x, y)$$

una EDP que resolvemos por separación de variables: $\psi(x, y) = \psi_1(x) \psi_2(y)$

$$-\frac{\hbar^2}{2m} [\psi_2 \psi_1''(x) + \psi_1 \psi_2''(y)] + (V_1 + V_2) \psi_1 \psi_2 = E \psi_1 \psi_2$$

↕ dividimos por $\psi_1 \psi_2$

$$-\frac{\hbar^2}{2m} \left(\frac{\psi_1''}{\psi_1} + \frac{\psi_2''}{\psi_2} \right) + V_1 + V_2 = E$$

$$-\frac{\hbar^2}{2m} \frac{\psi_1''}{\psi_1} + V_1 = E - \left(-\frac{\hbar^2}{2m} \frac{\psi_2''}{\psi_2} + V_2 \right) \equiv \alpha$$

Depende sólo de x

Depende sólo de y

así, le separado la EDP en dos EDOs:

$$\begin{cases} -\frac{\hbar^2}{2m} \psi_1'' + V_1 \psi_1 = \alpha \psi_1 \\ -\frac{\hbar^2}{2m} \psi_2'' + V_2 \psi_2 = (E - \alpha) \psi_2 \end{cases}$$

son dos ecuaciones de Schrödinger individuales !!!

• la energía será la suma de las energías de los potenciales V_1 y V_2

• la función de onda será el producto de las funciones de onda

→ Al final estoy buscando bases para las ecuaciones, y existe un método de separación de variables, que funciona en \mathbb{R}^3 el producto de tres en \mathbb{R}

PARTÍCULA LIBRE EN 3 DIMENSIONES ($0 = 0 + 0 + 0$)

$$\Psi_{k_x}(x) = \frac{1}{\sqrt{2\pi}} e^{ik_x x} \quad -\infty < k_x < \infty$$

análogamente con k_y y k_z

$$E(k) = \frac{\hbar^2 k^2}{2m}$$

Así, los estados estacionarios son:

$$\Psi_{\vec{k}}(x, y, z) = \frac{1}{(2\pi)^{3/2}} e^{i\vec{k} \cdot \vec{r}} \quad \text{con } \vec{k} \in \mathbb{R}^3 \quad (\vec{k} = (k_x, k_y, k_z))$$

$$E(\vec{k}) = \frac{\hbar^2 |\vec{k}|^2}{2m} = \frac{\hbar^2 k^2}{2m}$$

aquí la degeneración es mayor: todas las partes de la esfera $|\vec{k}| = \text{cte.}$ valen \Rightarrow hay infinita degeneración

degeneración

logra la integral triple como producto de tres integrales simples

$$\langle \Psi_{\vec{k}}, \Psi_{\vec{k}'} \rangle = \delta(\vec{k} - \vec{k}') = \delta(k_x - k'_x) \delta(k_y - k'_y) \delta(k_z - k'_z)$$

(autonormalidad en el sentido amplio)

Así, la solución general a la partícula libre en \mathbb{R}^3 es:

$$\Psi(\vec{r}, t) = \Psi(x, y, z, t) = \int_{\mathbb{R}^3} \frac{1}{(2\pi)^{3/2}} g(\vec{k}) e^{i\vec{k} \cdot \vec{r}} e^{-i \frac{\hbar(k_x^2 + k_y^2 + k_z^2)}{2m} t} d^3 k$$

$$\text{con } g(\vec{k}) = \int_{\mathbb{R}^3} \frac{1}{(2\pi)^{3/2}} \Psi(\vec{r}, 0) e^{-i\vec{k} \cdot \vec{r}} d^3 r \rightarrow \text{Transformada de Fourier a 3 dimensiones}$$

$(\Psi_{\vec{k}}, \Psi(\vec{r}, 0))$ para $t=0$ no expresamos en la base $\Psi_{\vec{k}}$

(Transformada matemática no física de otro)

OSCILADOR ARMÓNICO TRIDIMENSIONAL

$$V(\vec{r}) = \frac{1}{2} K_1 x^2 + \frac{1}{2} K_2 y^2 + \frac{1}{2} K_3 z^2; \text{ con } K_i = m \omega_i^2$$

Los estados estacionarios son:

→ al ser ω_i diferente, las formas físicas son iguales a éstas

$$\Psi_{n_1, n_2, n_3}(\vec{r}) = \Psi_{n_1}^{(1)}(x) \Psi_{n_2}^{(2)}(y) \Psi_{n_3}^{(3)}(z); \text{ con } n_i = 0, 1, 2, \dots$$

siendo $\Psi_n^{(i)}$ el n -ésimo estado estacionario del oscilador armónico de frecuencia ω_i

$$E_{n_1, n_2, n_3} = \left(n_1 + \frac{1}{2}\right) \hbar \omega_1 + \left(n_2 + \frac{1}{2}\right) \hbar \omega_2 + \left(n_3 + \frac{1}{2}\right) \hbar \omega_3$$

Se cumple $(\Psi_{n_1, n_2, n_3}, \Psi_{n'_1, n'_2, n'_3}) = \delta_{n_1, n'_1} \delta_{n_2, n'_2} \delta_{n_3, n'_3}$

↓ solo es igual si los índices correspondientes coinciden, es decir, si las frecuencias son ortogonales

Y la solución general:

$$\Psi(\vec{r}, t) = \sum_{n_1, n_2, n_3} C_{n_1, n_2, n_3} \Psi_{n_1, n_2, n_3}(\vec{r}) e^{-i \frac{E_{n_1, n_2, n_3}}{\hbar} t}$$

con $C_{n_1, n_2, n_3} = (\Psi_{n_1, n_2, n_3}, \Psi(\vec{r}, 0))$

Hay un caso especial: el oscilador armónico isotrópico, cuando las tres ω_i son iguales:

$$V = \frac{1}{2} K r^2; \text{ con } K = m \omega^2$$

Los estados estacionarios:

$$\Psi_{n_1, n_2, n_3}(\vec{r}) = \Psi_{n_1}(x) \Psi_{n_2}(y) \Psi_{n_3}(z); \text{ con } n_i = 0, 1, 2, \dots$$

$$E_{n_1, n_2, n_3} = \left(n_1 + n_2 + n_3 + \frac{3}{2}\right) \hbar \omega$$

La energía de punto 0 vale $\frac{3}{2} \hbar \omega$, nada alto que a una dimensión.

- hay degeneración:

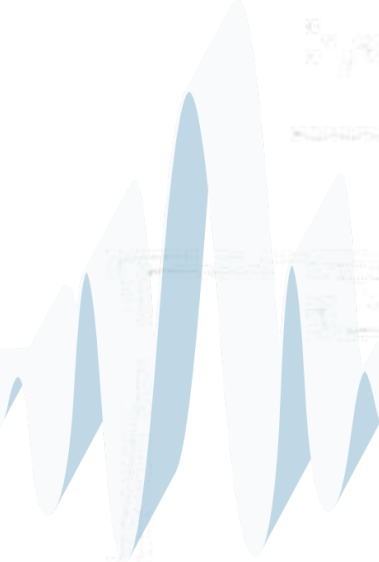
1 es el estado base $(0,0,0)$
3 es el 1º estado excitado $(1,0,0)$
 $(0,1,0)$
 $(0,0,1)$

6 es el 2º estado excitado $(1,1,0)$ $(2,0,0)$
 $(1,0,1)$ $(0,2,0)$
 $(0,1,1)$ $(0,0,2)$

⋮

cada vez mayor. En el caso de los, $g_N = \frac{(N+1)(N+2)}{2}$; con $N = n_1 + n_2 + n_3$

En el oscilador bidimensional, $g_N = N+1$



Zimatek

POZO TRIDIMENSIONAL INFINITO

• Vale 0 si $\begin{cases} -a \leq x \leq a \\ -b \leq y \leq b \\ -c \leq z \leq c \end{cases}$ y ∞ en caso contrario

• Los estados estacionarios:

$$\Psi_{n_1 n_2 n_3}(\vec{r}) = \Psi_{n_1}^a(x) \Psi_{n_2}^b(y) \Psi_{n_3}^c(z)$$

$$n_i = 1, 2, 3, \dots$$

$$E_{n_1 n_2 n_3} = \frac{\hbar^2 \pi^2}{8m} \left(\frac{n_1^2}{a^2} + \frac{n_2^2}{b^2} + \frac{n_3^2}{c^2} \right)$$

Si la caja es cúbica, $E_{n_1 n_2 n_3} = \frac{\hbar^2 \pi^2}{8m a^2} (n_1^2 + n_2^2 + n_3^2)$

• Hay, de nuevo, degeneración cuando se intercambia.

Zimatek

DESINTEGRACIÓN α

$Z \sim 80-100$

La ley de desintegración de los núcleos radiactivos suele ser $N(t) = N(0) e^{-t/\tau}$ τ vida media

Intentamos entender mejor esto: $dN = \underbrace{N(0)}_N e^{-t/\tau} \frac{dt}{-\tau}$

$$\frac{1}{N} \frac{dN}{dt} = \frac{dt}{-\tau}$$

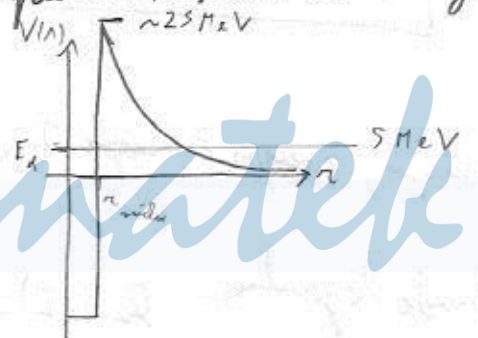
No dice que en un intervalo de tiempo pequeño dt se desintegre un núcleo $\Rightarrow \frac{dt}{\tau} \Rightarrow$ LINEAL (la probabilidad por núcleo es constante)

II

la probabilidad de desintegración de un núcleo por unidad de tiempo es $\frac{1}{\tau}$ (rate de desintegración)

Ya vimos que la emisión ocurre por efecto túnel, pues las partículas α salieron con una energía $\sim 25 \text{ MeV}$

veremos que el valor máximo del potencial coulombiano.



Intentamos ligar τ con E_α

La barrera tiene un coeficiente de transmisión T . A mayor T , menor τ . (ata de desintegración)

Así, intuitivamente, $T \propto \frac{1}{\tau}$

Ya vimos que una barrera rectangular tiene $T \approx \frac{16 E (V_0 - E)}{V_0^2} e^{-\frac{2a}{\hbar} \sqrt{2m(V_0 - E)}}$

Entonces la barrera por muchos barreritas rectangulares. $E_{\text{total}} T = \prod_i T_i$



$$T = \frac{J_t}{J_i} = \frac{J_{2n}}{J_{i-1}} \cdot \frac{J_{2n-1}}{J_{i-2}} \cdot \dots \cdot \frac{J_{2n}}{J_{i+1}} \cdot \frac{J_{2n-1}}{J_{i+2}} \cdot \dots \cdot \frac{J_{2n}}{J_{i+1}} \cdot \frac{J_{2n-1}}{J_{i+2}} \cdot \dots = \prod_i T_i$$

$$A_{in} = -\frac{2a}{\hbar} \sqrt{2m(V_0 - E)} \rightarrow \int_{r_1}^{r_2} -\frac{2}{\hbar} \sqrt{2mV(r) - E} dr, \text{ con } r_2 \text{ el que cumple } V(r_2) = E \text{ (la última}$$

$$\text{barrera que hay que superar)} E_\alpha = \frac{2(Z-2)e^2}{4\pi\epsilon_0 r_2}$$

Como $r_1 \ll r_2$, tomamos $r_1 = 0$:

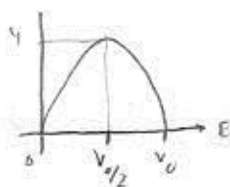
$$-\frac{2}{\hbar} \sqrt{2m} \int_0^{r_2} \sqrt{V(r)} dr = -\frac{2}{\hbar} \sqrt{2m} \sqrt{\frac{2(Z-2)e^2}{4\pi\epsilon_0}} \cdot 2 \left[\sqrt{r} \right]_0^{r_2} =$$

$$= -\frac{4}{\hbar} \sqrt{2m} \frac{2(Z-2)e^2}{4\pi\epsilon_0} \cdot \frac{1}{\sqrt{E}}$$

$$A_{in}; T(E) \approx \frac{16E(V_0 - E)}{V_0^2} e^{-\frac{A}{\sqrt{E}}}; A = \frac{4}{\hbar} \sqrt{2m} \frac{2(Z-2)e^2}{4\pi\epsilon_0}, \text{ que no varía mucho para los núcleos que nos interesan}$$

Se ve que, a mayor E , mayor T

Tomando logaritmos: $\ln T(E) = \ln \left[\frac{16E(V_0 - E)}{V_0^2} \right] - \frac{A}{\sqrt{E}} = \text{cte.} - \ln T$



\Rightarrow El \ln apenas varía, así que lo tomamos cte.

$$A_{in}; \ln T \approx \text{cte.} + \frac{A}{\sqrt{E}}, \text{ una ley que empíricamente se sigue bastante bien}$$

E apenas varía en la desintegración (4-6 MeV); pero pequeñas variaciones en E provocan grandes cambios en T

$$\ln \frac{T_1}{T_2} = A \left(\frac{1}{\sqrt{E_1}} - \frac{1}{\sqrt{E_2}} \right)$$

variando inversa, para $E_1 = 4 \text{ MeV}$ (^{238}Th ; $Z=90$)
 $E_2 = 9 \text{ MeV}$ (^{212}Po ; $Z=84$), $A \approx 400 \text{ MeV}^{1/2}$
↓
500 unidades

$$\frac{\tau_1}{\tau_2} \sim 10^{29}$$

Por ejemplo, $\tau_2 \sim 0.3 \mu\text{s} \Rightarrow \tau_1$ mayor que la edad del universo!!

Esto es así porque T depende mucho de la altura / anchura de la barrera; y la dependencia es mayor cuando la masa de la partícula es mayor.



Zimatek